

تحلیل ارتعاش آزاد صفحات مستطیلی ضخیم همسانگرد عرضی بر بستر دو پارامتری پاسترناک

شایان محمدعلیزاده (دانشجوی کارشناسی ارشد)

بهرام نوایی نیا * (دانشیار)

پروانه ناطقی باگی (دانشجوی دکتری)

دانشکده‌ی هندسی عمران، دانشگاه صنعتی نوشیروانی پاپل، پاپل

در پژوهش حاضر، به ارائه‌ی روشی برای حل دقیق ارتعاش آزاد صفحات مستطیلی ضخیم همسانگرد عرضی بر بستر پاسترناک پرداخته شده است. بدین منظور، معادلات حاکم بر حسب توابع پتانسیل تغییرمکان بیان و به روش جداسازی متغیرها و با اعمال دقیق شرایط مرزی، حل و بسامد زاویه‌یی صفحه تعیین شده است. به منظور بررسی صحت محاسبات، نتایج حاصل از پژوهش حاضر، ابتدا برای حالت خاص صفحه‌ی همسانگرد و سپس همسانگرد عرضی با دیگر متابع مقایسه و سپس تحلیل پارامتریک جهت تعیین بسامدهای بی‌بعد ارائه شده است. نتایج نشان دادند که افزایش ضریب بستر همراه با افزایش بسامد بی‌بعد بوده است، تا جایی که افزایش سختی بستر از یک مقدار مشخص برای هر مود و ابعاد صفحه، تغییری در بسامد بدون بعد نداهد است. همچنین با افزایش ضخامت، همواره بسامد افزایش نیافته است، که بسته به سختی‌های بستر و صفحه، بسامد می‌تواند کاهش یابد. علاوه بر این، نتایج نشان دادند که تأثیر مدول بررسی در بسامد، بیشتر از مدول کشسانی و ضریب پواسون بوده است.

malizadeh.shayan@gmail.com
navayi@nit.ac.ir
nateghi2020@gmail.com

وازگان کلیدی: ارتعاش آزاد، صفحات مستطیلی ضخیم، همسانگرد عرضی، بستر ارجاعی پاسترناک، توابع پتانسیل تغییرمکان.

۱. مقدمه و تاریخچه‌ی پژوهش‌ها

در تحلیل ارتعاش‌های ورق‌های ضخیم نسبی بر پایه‌ی تئوری ریسنر - میندلین^۴ استوار است.^[۲] علاوه بر کاربرد وسیع صفحات در شاخه‌های مختلف مهندسی، تحلیل صفحه بر بستر کشسان نیز اهمیت ویژه‌ی دارد و در طیف وسیعی از مسائل مهندسی به خصوص در مهندسی عمران مطرح است. پی‌گستردگی ساختمان‌ها بر روی خاک، حرکت هواپیماهای پهن‌پیکر بر باند فرودگاه و موارد مشابه از نمونه‌هایی هستند که تحلیل صفحه بر بستر کشسان را با اهمیت جلوه می‌دهند. مدل‌سازی رفتار خاک بستر وابسته به عوامل متعددی است و لذا ارائه‌ی الگویی که در برگیرنده‌ی تأثیر تمامی عوامل باشد، کاری سخت و دشوار است. از این جهت در حل مسائل مربوط به اندکش خاک و شالوده، به استفاده از نمونه‌های ساده‌تر توجه شده است. تعدادی از این مدل‌های ساده بر فرضیه‌ی رفتار کشسان خطی دلالت دارند، که از این بین می‌توان الگوی ساده شده‌ی وینکلر^۵ که در سال ۱۸۶۷ ارائه شده است، را نام برد.^[۱۷]

در مدل وینکلر، تغییرشکل هر نقطه از بستر با مقدار تنش موجود در همان نقطه تناسب دارد و تأثیر تنش‌ها و جابه‌جاگی‌های نقاط دیگر در نظر گرفته نمی‌شود، که منجر به رفتار غیرپیوسته‌ی خاک می‌شود. برخلاف فرضیه‌ی وینکلر، مدل‌های

تحلیل ارتعاش آزاد برای تعیین بسامدهای تشیدی، امری اجتناب‌ناپذیر در تحلیل سازه‌ها و به ویژه صفحات به شمار می‌آید. از این رو، پژوهش در زمینه‌ی رفتار ارتعاشی صفحات و همچنین ارتعاش آزاد آنها، اهمیت ویژه‌ی دارد و باید به عنوان پارامتر ضروری در طراحی آنها مدنظر قرار گیرد.^[۱] مطالعات زیادی در زمینه‌ی تحلیل ارتعاش آزاد صفحات به عنوان یک المان سازه‌ی رایج در حیطه‌ی مهندسی صورت گرفته است. از اولین تئوری‌های مطرح شده در زمینه‌ی ارتعاشی صفحات می‌توان به ارتعاش آزاد ورق‌های مربعی باله‌های آزاد توسعه چلاندی^۶ در سال ۱۷۸۷ اشاره کرد. در ادامه، مطالعات گستردگی روی ارتعاش‌های صفحه‌های نازک با شکل‌های هندسی، شرایط تکیه‌گاهی و نیز بازگذاری‌های مختلف صورت پذیرفت، که اغلب آنها برای صفحات معمول در کارهای ارزشمند لیسا^۷^[۱۰-۳] و برای صفحات نازک مرکب و ساندویچی توسعه برت^۸^[۱۱-۱۶] مروج و مقایسه شده‌اند. با افزایش ضخامت صفحات، اثر تغییرشکل‌های برشی و اینرسی دورانی قابل توجه بوده است و استفاده از تئوری صفحه‌ی نازک برای این دسته از صفحات را با خطأ همراه می‌سازد؛ از این روش عمدۀ مطالعات صورت گرفته

* نویسنده مسئول

تاریخ: دریافت ۱۳۹۸/۳/۲۰، اصلاحیه ۱۳۹۸/۷/۲۸، پذیرش ۱۳۹۸/۸/۲۰.

DOI:10.24200/J30.2019.53464.2560

از آنجایی که پژوهش‌های انجام شده در حیطه‌ی ارتعاش آزاد صفحه بر بستر کشسان، عمدتاً مربوط به مصالح همسانگرد است و کارهای مربوط به صفحات همسانگرد عرضی بر بستر کشسان، بسیار محدود هستند، در پژوهش حاضر به بررسی حل دقیق سه‌بعدی ارتعاش آزاد صفحات ضخیم مستطیلی همسانگرد عرضی و در حالت خاص، همسانگرد با تکیه‌گاه‌های ساده بر بستر کشسان دو پارامتری پاسترناك پرداخته شده است. بدین منظور از توابع پتانسیل تغییرمکان اسکندری - قادی، برای حل معادلات سه‌بعدی کشسانی استفاده و با حل معادلات دیفرانسیل حاکم به روش تحلیلی و با اعمال دقیق شرایط مرزی، بسامد ارتعاش آزاد صفحه تعیین شده است. از ویژگی‌های بارز روش حاضر می‌توان به عدم استفاده از فرضیات ساده‌شونده در خصوص توزیع تنش، کرشن، یا تغییرمکان در ضخامت صفحه اشاره کرد. همچنین در روش مذکور محدودیتی برای محاسبه‌ی مودها در ضخامت‌های مختلف وجود نخواهد داشت. ضمناً پژوهش حاضر را می‌توان اولین مطالعه‌ی دقیق صورت گرفته در زمینه‌ی ارتعاش آزاد صفحات مستطیلی همسانگرد عرضی ضخیم بر بستر کشسان دانست.

۲. تئوری

صفحه‌ی مستطیلی با رفتار کشسان خطی، به طول a ، عرض b و ارتفاع h مطابق شکل ۱ الف و ب بر روی چهار لبه‌ی ساده، که در حال ارتعاش آزاد بر بستر ارتجاعی پاسترناك است، در نظر گرفته شده است که در آن صفحه‌ی xy منطبق با صفحه همسانگرد و محور z عمود بر آن است. در شکل ۱، K_w و K_z دو پارامتر ثابت کشسان هستند، که به ترتیب بیان‌گر سختی فنرهای وینکلر و سختی برشی بستر هستند.

در محیط سه‌بعدی همسانگرد عرضی، برای حالتی که محور z عمود بر صفحه‌ی همسانگرد باشد، معادلات ناویر در غیاب نیروهای حجمی به فرم رابطه‌ی ۱ برقرار خواهند بود:^{۱۳}

$$1) A_{11} \frac{\partial^2 \tilde{u}}{\partial x^2} + \left(\frac{A_{11} - A_{12}}{2} \right) \frac{\partial^2 \tilde{u}}{\partial y^2} + A_{44} \frac{\partial^2 \tilde{u}}{\partial z^2} + \left(\frac{A_{11} + A_{12}}{2} \right) \frac{\partial^2 \tilde{v}}{\partial x \partial y} + (A_{12} + A_{44}) \frac{\partial^2 \tilde{w}}{\partial x \partial z} = \rho \frac{\partial^2 \tilde{u}}{\partial t^2}$$

دیگری متکی بر مطالعات اولیه بوسینسک^۹ (۱۸۸۵) ارائه شده است، که در آنها خاک، پیوسته و به صورت نیم فضای کشسان آنالیز می‌شود. بررسی‌های بیشتر رفتار خاک‌ها، پژوهشگران را وادار به بازنگری مدل‌های پیشین کرده است. به عنوان نمونه مشاهده شد که تغییرشکل‌هایی در نواحی خارج از محدوده بارگذاری نیز وجود دارد که با فرضیه‌ی وینکل در تضاد است. از طرفی دیگر، با دور شدن از محل تأثیر پژوهشکل‌ها به مراتب سریع‌تر از آنچه در الگوهای در نواحی خارج از محدوده بارگذاری نیز وجود شد، کاوش می‌یابند که باعث ناکارآمدی فرضیه‌ی پیوستگی خاک به صورت نیم فضای کشسان شده است. از این رو مدل‌های دو سه پارامتری کشسان توسط پژوهشگران ارائه شد تا نواقص دو الگوی قابلی را رفع کند.^{۱۷} باسترناك^۷ از طریق اتصال فنرها به لایه‌یی که در جهت قائم تراکم ناپذیر فقط در اثر برش عرضی تغییرشکل می‌دهد، عدم پیوستگی مدل وینکل را رفع کرد. ولاسوف^۸ و لئونیف^۹ در سال ۱۹۶۶ با ساده‌سازی مدل‌های کشسان پیوسته و هوروٹ^{۱۰} نیز با ساده‌سازی مدل‌های ریسنر، پاسترناك و وینکلر، الگوهای خود را به ثبت رساندند.^{۱۱} در سال ۱۹۶۴ با اضافه کردن مجموعه‌ی سوم فنر در جهت قائم، مدل دو پارامتری پاسترناك را به سه پارامتر ارتقا داد، که پیوستگی بین دو مجموعه‌ی فنر از طریق یک لایه برشی تأمین می‌شود.^{۱۲}

از پژوهش‌هایی که صورت گرفته در زمینه‌ی ارتعاش آزاد صفحات بر بستر کشسان می‌توان به ارتعاش آزاد صفحه‌ی میندلین روی بستر کشسان توسط زیانگ^{۱۲} و همکاران در سال ۱۹۹۴ اشاره کرد. علاوه بر این، زیانگ و همکارانش به تجزیه و تحلیل ارتعاش صفحات مستطیلی میندلین بر لبه‌های کشسان پرداختند.^{۱۳} در ادامه، ارتعاش سه‌بعدی ورق‌های مستطیلی ضخیم توسط ژو^{۱۴} و همکاران بررسی شده است.^{۱۷} ارتعاش آزاد صفحات FGM^{۱۴} روی شالولد، در سال ۲۰۰۹ توسط حسینی و همکاران با استفاده از تئوری‌های برشی مرتبه‌ی اول و بالاتر انجام شد.^{۱۵} در ادامه، دهقانی و فرج پور با روش دقیق سه‌بعدی به بررسی ارتعاش آزاد صفحات مستطیلی همسانگرد بر بستر کشسان پرداختند.^{۱۶} راهبرنجی و شهبازیبار به مطالعه در زمینه‌ی ارتعاش آزاد صفحات مستطیلی کامپوزیت^{۱۵} مستطیلی ریزنر - ریتز پرداختند.^{۱۷} در ادامه، ارتعاش آزاد صفحات کامپوزیت^{۱۵} مستطیلی نسبتاً ضخیم بر بستر وینکلر و پاسترناك، توسط شی^{۱۶} و همکاران بررسی شد.^{۱۸} در سال ۲۰۱۶، راهبرنجی و شهبازیبار با تکیه‌گاه‌های نقطه‌یی و لبه‌های مقید کشسان با استفاده از روش ریزنر - ریتز پرداختند.^{۱۹} در ادامه، ارتعاش آزاد ورق مستطیلی نسبتاً ضخیم بر بستر کشسان را با استفاده از تئوری برشی مرتبه‌ی اول و بالاتر بررسی کردند.^{۲۰} همچنین به استفاده از مواد همسانگرد عرضی به دلیل مشخصات برتر آنها، همچون جگالی کم و مقاومت بالا در شاخه‌های مختلف مهندسی توجه شده است، که به موجب آن می‌توان مطالعه‌ی انجام شده در سال ۲۰۰۸ توسط سعیدی و آتشی‌پور را نام برد، که ارتعاش آزاد صفحات مستطیلی همسانگرد عرضی را با تئوری برشی مرتبه‌ی اول (FSDT)^{۱۹} بررسی کردند.^{۲۱} در ادامه، حسینی و همکاران به کمک تئوری برشی مرتبه‌ی سوم ردی (TSDT)^{۲۰} ارتعاش آزاد ورق مستطیلی همسانگرد عرضی را بررسی کردند.^{۲۱} در سال ۲۰۱۶ ارتعاش آزاد صفحات کامپوزیت مستطیلی ارتوتروپیک، توسط فتحی و رضایی انجام شد، که ویژگی بارز روش مذکور، استفاده از روش ریزنر - ریتز برای به دست آوردن بسامدهای طبیعی در شرایط مرزی مختلف است.^{۲۲} راهبرنجی و شهبازیبار^{۲۳} نیز با استفاده از روش ریزنر - ریتز به تجزیه و تحلیل ارتعاش آزاد صفحات غیرهمگمن ارتوتروپیک بر بستر پاسترناك پرداختند.^{۲۴}

یکی از روش‌های حل معادلات سه‌بعدی کشسانی، استفاده از توابع پتانسیل تنش یا تغییرمکان است، که در بسیاری از روش‌های تحلیلی، نیمه تحلیلی و عددی استفاده

تغییرمکان‌های یک محیط دلخواه همسانگرد عرضی بر حسب تابع پتانسیل اسکندری - قادی $\tilde{F} \tilde{X}(x, y, z, t)$, در غیاب نیروهای جسمی بر پایه‌ی روابط ۵ استوار است: [۲۳]:

$$\begin{cases} \tilde{u}(x, y, z, t) = -\alpha_1 \frac{\partial^r \tilde{F}}{\partial x \partial z} - \frac{\partial \tilde{X}}{\partial y} \\ \tilde{v}(x, y, z, t) = -\alpha_1 \frac{\partial^r \tilde{F}}{\partial y \partial z} - \frac{\partial \tilde{X}}{\partial x} \\ \tilde{w}(x, y, z, t) = (1 + \alpha_1) \left(\nabla_x^r y + \frac{\alpha_1}{1 + \alpha_1} \frac{\partial^r}{\partial z^r} - \frac{\rho}{1 + \alpha_1} \frac{\partial^r}{\partial t^r} \right) \tilde{F} \end{cases} \quad (5)$$

که در آنها، پارامترها از روابط ۶ به دست می‌آیند:

$$\begin{aligned} \nabla_x^r y &= \frac{\partial^r}{\partial x^r} + \frac{\partial^r}{\partial y^r}, \quad \rho = \frac{\rho}{A_{66}}, \quad \alpha_1 = \frac{A_{66} + A_{11}}{A_{66}} \\ \alpha_1 &= \frac{A_{11}}{A_{66}}, \quad \alpha_2 = \frac{A_{11} + A_{44}}{A_{66}}, \quad \alpha_3 = \frac{A_{44}}{A_{66}} \end{aligned} \quad (6)$$

۱.۲. معادلات حاکم

با جایگذاری روابط ۵ در معادلات ناویر رابطه‌ی ۱، روابط حاکم بر محیط مورد بررسی بر حسب تابع پتانسیل به فرم روابط ۷ به دست می‌آیند: [۲۳]:

$$\begin{aligned} \left[\nabla_x^r \nabla_y^r - \delta \frac{\partial^r}{\partial z^r \partial t^r} \right] \tilde{F}(x, y, z, t) &= 0 \\ \nabla_z^r \tilde{X}(x, y, z, t) &= 0 \end{aligned} \quad (7)$$

که در آن عملگر موج و پارامتر δ به صورت رابطه‌ی ۸ بیان می‌شوند: [۲۳]:

$$\begin{aligned} \nabla_i^r &= \nabla_{xy}^r + \frac{1}{s_i^r} \frac{\partial^r}{\partial z^r} - \frac{1}{C_i^r} \frac{\partial^r}{\partial t^r}, \quad (i = 0, 1, 2) \\ \delta &= \frac{1}{C_1^r} (1 - \frac{1}{s_1^r}) + \frac{1}{C_2^r} (\frac{A_{44}}{A_{11}} - \frac{1}{s_1^r}) \end{aligned} \quad (8)$$

که در آنها، s_i^r و C_i^r به صورت رابطه‌ی ۹ تعریف می‌شوند: [۲۳]:

$$\begin{aligned} s_0^r &= \frac{1}{\alpha_1} = \frac{A_{66}}{A_{44}} \\ C_0^r &= \frac{A_{66}}{\rho}, \quad C_1^r = \frac{A_{11}}{\rho}, \quad C_2^r = \frac{A_{44}}{\rho} \end{aligned} \quad (9)$$

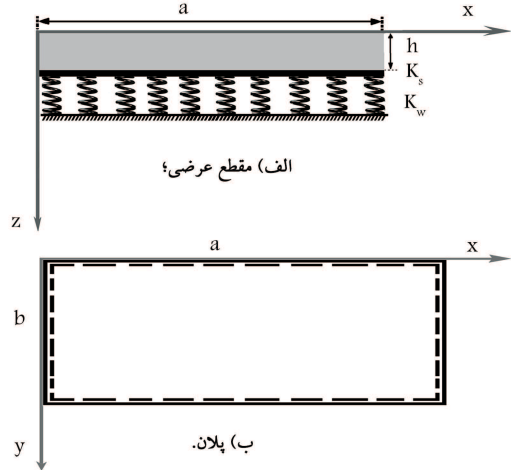
که در آنها، C_0^r و C_1^r سرعت موج می‌باشد.

۲. حل معادلات حاکم

به منظور تعیین بسامد طبیعی صفحه، با فرض هارمونیک بودن حرکت، می‌توان برای تبدیل معادلات از محدوده‌ی زمان به بسامد رابطه‌ی تغییرمکان‌ها و تابع پتانسیل را به صورت رابطه ۱۰ نشان داد:

$$\begin{aligned} [\tilde{X}, \tilde{F}(x, y, z, t)] &= [\chi, F(x, y, z)] e^{i\omega t} \\ [\tilde{u}, \tilde{v}, \tilde{w}(x, y, z, t)] &= [u, v, w(x, y, z)] e^{i\omega t} \end{aligned} \quad (10)$$

که در آن، $\tilde{\omega}$ بسامد زاویه‌یی حرکت و $i = \sqrt{-1}$ است. با جایگذاری رابطه‌ی ۱۰



شکل ۱. صفحه‌ی همسانگرد عرضی بر بستر پاسترنک.

$$\begin{aligned} 2) \quad & \left(\frac{A_{11} - A_{11}}{2} \right) \frac{\partial^r \tilde{v}}{\partial x^r} + A_{11} \frac{\partial^r \tilde{v}}{\partial y^r} + A_{44} \frac{\partial^r \tilde{v}}{\partial z^r} \\ & + \left(\frac{A_{11} + A_{11}}{2} \right) \frac{\partial^r \tilde{u}}{\partial x \partial y} + (A_{11} + A_{44}) \frac{\partial^r \tilde{w}}{\partial y \partial z} = \rho \frac{\partial^r \tilde{v}}{\partial t^r} \\ 3) \quad & A_{44} \frac{\partial^r \tilde{w}}{\partial x^r} + A_{44} \frac{\partial^r \tilde{w}}{\partial y^r} + A_{44} \frac{\partial^r \tilde{w}}{\partial z^r} \\ & + (A_{11} + A_{44}) \frac{\partial^r \tilde{u}}{\partial x \partial z} + (A_{11} + A_{44}) \frac{\partial^r \tilde{v}}{\partial y \partial z} = \rho \frac{\partial^r \tilde{w}}{\partial t^r} \end{aligned} \quad (1)$$

که در آنها، \tilde{u} ، \tilde{v} و \tilde{w} جایه‌جایی‌ها به ترتیب در راستای محورهای x ، y و z و ρ جرم حجمی مواد و A_{ij} ضرایب کشسان متسق هستند که بر حسب مدول کشسانی، مدول برشی و نیز ضریب پواسون مطابق روابط ۲ تعریف می‌شوند: [۲]:

$$\begin{aligned} A_{11} &= \frac{E(1 - \frac{E'}{E'} \nu'^r)}{(1 + \nu)(1 - \nu - \frac{E}{E'} \nu'^r)} \\ A_{11} &= \frac{E \nu'}{(1 - \nu - \frac{E}{E'} \nu'^r)} \\ A_{44} &= \frac{E' (1 - \nu)}{(1 - \nu - \frac{E}{E'} \nu'^r)} \\ A_{44} &= G' \\ A_{44} &= \frac{E}{2(1 + \nu)} = G \end{aligned} \quad (2)$$

که در آنها، E و G به ترتیب معرف مدول کشسانی، ضریب پواسون و مدول برشی در صفحه‌ی همسانگرد و پارامترهای E' ، v' و G' به ترتیب بیان‌گر مدول کشسانی، ضریب پواسون و مدول برشی در صفحات عمود بر صفحه‌ی همسانگرد هستند. مواد همسانگرد نیز حالت خاصی از مواد همسانگرد عرضی هستند، که در آنها روابط ۳ برقرار است: [۲]

$$\begin{aligned} A_{11} &= A_{44} = \lambda + 2\mu, \\ A_{11} &= A_{11} = \lambda, \\ A_{44} &= A_{44} = \mu. \end{aligned} \quad (3)$$

که در آنها، λ و μ ضرایب لامه هستند و به صورت رابطه‌ی ۴ تعریف می‌شوند: [۲]

$$\lambda = \frac{\nu E}{(1 + \nu)(1 - 2\nu)}, \quad \mu = \frac{E}{2(1 + \nu)} \quad (4)$$

که در آنها، پارامترهای γ_1 و γ_2 به صورت رابطه‌ی ۲۰ تعریف می‌شوند:

$$\begin{aligned}\gamma_1^r &= \alpha_{mn}^r - \lambda_1^r \\ \gamma_2^r &= \alpha_{mn}^r - \lambda_2^r\end{aligned}\quad (20)$$

که در آن، a_{mm}^r به صورت رابطه‌ی ۲۱ بیان می‌شود:

$$\alpha_{mn}^r = \alpha^r + \beta^r \quad (21)$$

همچنین α و β نیز از رابطه‌ی ۲۲ حاصل می‌شوند:

$$\alpha = \frac{m\pi}{a}, \beta = \frac{n\pi}{b} \quad (22)$$

که در آن، m و n بیان‌گر نیم موج‌های ارتعاش درجهت‌های x و y هستند.
چنانچه مشابه روند اخیر، برای تابع χ نیز طی شود، فقط رابطه‌ی ۲۳ جواب ممکن خواهد شد:

$$\begin{aligned}\chi(x, y, z) &= [c_1 \cos(\alpha' x) + c_{10} \sin(\alpha' x)] \\ &\quad [c_{11} \cos(\beta' y) + c_{12} \sin(\beta' y)] \\ &\quad [c_{13} \cosh(s_\gamma z) + c_{14} \sinh(s_\gamma z)]\end{aligned}\quad (23)$$

که در آن، ضرایب c_{14} الی c_{17} به کمک شرایط مرزی باید تعیین شوند.
شرایط حاکم بر معادله ایجاب می‌کنند که رابطه‌ی ۲۴ برقرار باشد:

$$\gamma_0^r = \alpha_{mn}^r - \lambda_0^r \quad (24)$$

که در آن، α_{mn}^r از رابطه‌ی ۲۵ به دست می‌آید:

$$\alpha_{mn}^r = \alpha'^r + \beta'^r \quad (25)$$

که در آن α' و β' از رابطه‌ی ۲۶ حاصل می‌شوند:

$$\alpha' = \frac{m\pi}{a}, \beta' = \frac{n\pi}{b} \quad (26)$$

۳.۲. شرایط مرزی

به منظور تعیین ضرایب و پارامترهای معادلات ۱۷ و ۲۲، لازم است از برقراری شرایط مرزی کمک گرفته شود. بدین منظور و با توجه به این فرض که صفحه بر روی \mathbf{z} هیپربولیک است و امکان اقناع شرایط مرزی را فراهم می‌آورد، قابل قبول است.
لبه‌ی ساده قرار دارد، چهار شرط مرزی هندسی مربوط به تغییرمکان در راستای قائم (w) مطابق رابطه‌ی ۲۷ است:

$$\begin{cases} x = 0, a \\ y = 0, b \end{cases} : w = 0 \quad (27)$$

چهار شرط مرزی استاتیکی، مربوط به لنگرها در لبه‌های صفحه خواهد بود که با توجه به ساده بودن تکیه‌گاه‌ها، مطابق روابط ۲۸ لحاظ می‌شود:

$$\begin{cases} x = 0, a \\ y = 0, b \end{cases} : M_x = 0 \quad (28)$$

در معادلات ۵ و ۷، به ترتیب روابط ۱۱ الی ۱۳ حاصل می‌شوند:^[۲۳]

$$\begin{cases} u(x, y, z) = -\alpha_1 \frac{\partial^r F}{\partial x \partial z} - \frac{\partial \chi}{\partial y} \\ v(x, y, z) = -\alpha_1 \frac{\partial^r F}{\partial y \partial z} - \frac{\partial \chi}{\partial x} \\ w(x, y, z) = (1 + \alpha_1) \left(\nabla_{xy}^r + \frac{\alpha_1}{1 + \alpha_1} \frac{\partial^r}{\partial z^r} + \frac{\rho}{1 + \alpha_1} \omega^r \right) F \end{cases} \quad (11)$$

$$\begin{aligned}\frac{\partial^r F}{\partial x^r} + \frac{\partial^r F}{\partial y^r} + \frac{1}{s_1^r s_2^r} \frac{\partial^r F}{\partial z^r} + 2 \frac{\partial^r F}{\partial x^r \partial y^r} \\ + \left(\frac{1}{s_1^r} + \frac{1}{s_2^r} \right) \left(\frac{\partial^r F}{\partial x^r \partial z^r} + \frac{\partial^r F}{\partial y^r \partial z^r} \right) \\ + (\lambda_1^r + \lambda_2^r) \left(\frac{\partial^r F}{\partial x^r} + \frac{\partial^r F}{\partial y^r} \right) \\ + \left(\frac{\lambda_1^r}{s_1^r} + \frac{\lambda_2^r}{s_2^r} + \delta \omega^r \right) \frac{\partial^r F}{\partial z^r} + \lambda_1^r \lambda_2^r F = 0\end{aligned}\quad (12)$$

$$\left[\nabla_{xy}^r + \frac{1}{s_0^r} \frac{\partial^r}{\partial z^r} - \lambda_0^r \right] \chi = 0 \quad (13)$$

که در روابط اخیر، λ را می‌توان به صورت رابطه‌ی ۱۴ نشان داد:

$$\lambda_0^r = \frac{\omega^r}{C_0^r}, \quad \lambda_1^r = \frac{\omega^r}{C_1^r}, \quad \lambda_2^r = \frac{\omega^r}{C_2^r} \quad (14)$$

معادلات ۱۲ و ۱۳، معادلات دیفرانسیل حاکم هستند، که در پژوهش حاضر به منظور حل آن از روش جداسازی متغیرها استفاده شده است. بدین منظور می‌توان تابع پتانسیل F و X را بر حسب ضرب سه تابع مستقل از یکدیگر مطابق رابطه‌های ۱۵ و ۱۶ بیان کرد:

$$F(x, y, z) = f(x).g(y).h(z) \quad (15)$$

$$\chi(x, y, z) = f_0(x).g_0(y).h_0(z) \quad (16)$$

با جایگذاری رابطه‌ی ۱۵ در معادله‌ی ۱۲ و تقسیم دو طرف معادله بر $f(x)g(y)h(z)$ از بین پاسخ‌های ممکن، فقط رابطه‌ی ۱۷، که درجهت x و y مثلثاتی و درجهت z هیپربولیک است و امکان اقناع شرایط مرزی را فراهم می‌آورد، قابل قبول است.

$$F(x, y, z) = [c_1 \cos(\alpha x) + c_2 \sin(\alpha x)]$$

$$\begin{aligned}[c_3 \cos(\beta y) + c_4 \sin(\beta y)] \\ [c_5 \cosh(\zeta_1 z) + c_6 \sinh(\zeta_1 z)] \\ + c_7 \cosh(\zeta_2 z) + c_8 \sinh(\zeta_2 z)\end{aligned} \quad (17)$$

که ضرایب c_1 الی c_8 با اقناع شرایط مرزی و ضربی زاویه‌ی α و β مطابق روابط ۱۸ و ۱۹ قابل محاسبه است:

$$\zeta_1^r = \frac{1}{2} \left\{ \frac{(s_1 \gamma_1)^r + (s_2 \gamma_2)^r - \delta \omega^r s_1^r s_2^r}{+ \sqrt{[(s_1 \gamma_1)^r + (s_2 \gamma_2)^r - \delta \omega^r s_1^r s_2^r]^r - 4 s_1^r \gamma_1^r s_2^r \gamma_2^r}} \right\} \quad (18)$$

$$\zeta_2^r = \frac{1}{2} \left\{ \frac{(s_1 \gamma_1)^r + (s_2 \gamma_2)^r - \delta \omega^r s_1^r s_2^r}{- \sqrt{[(s_1 \gamma_1)^r + (s_2 \gamma_2)^r - \delta \omega^r s_1^r s_2^r]^r - 4 s_1^r \gamma_1^r s_2^r \gamma_2^r}} \right\} \quad (19)$$

$$\begin{aligned}
 f_{11} &= -D_{11} \sinh(\zeta_1 h/2), \\
 f_{12} &= D_{11} \cosh(\zeta_1 h/2), \\
 f_{21} &= -D_{11} \sinh(\zeta_2 h/2), \\
 f_{22} &= -D_{11} \cosh(\zeta_2 h/2), \\
 f_{11} &= f_{11} + \left(k_t q \cosh(\zeta_1 h/2) + \zeta_1^r k_t \alpha_1 \cosh(\zeta_1 h/2) \right), \\
 f_{12} &= f_{12} + \left(k_t q \sinh(\zeta_1 h/2) + \zeta_1^r k_t \alpha_1 \sinh(\zeta_1 h/2) \right), \\
 f_{21} &= -f_{21} + \left(k_t q \cosh(\zeta_2 h/2) + \zeta_2^r k_t \alpha_2 \cosh(\zeta_2 h/2) \right), \\
 f_{22} &= -f_{22} + \left(k_t q \sinh(\zeta_2 h/2) + \zeta_2^r k_t \alpha_2 \sinh(\zeta_2 h/2) \right). \quad (34)
 \end{aligned}$$

که در آن، ضرایب D_{ij} ($i, j = 1, 2$) به صورت رابطه‌ی ۳۵ تعریف می‌شوند:

$$\begin{aligned}
 D_{11} &= \zeta_1^r (\alpha_1 - \alpha_2) - \alpha_{mn}^r (1 + \alpha_1) + \rho \cdot \bar{\omega}^r, \\
 D_{12} &= \zeta_1^r (\alpha_1 - \alpha_2) - \alpha_{mn}^r (1 + \alpha_1) + \rho \cdot \bar{\omega}^r, \\
 D_{21} &= \zeta_2^r A_{11} \alpha_1 + \zeta_1 \\
 &\quad \left(A_{11} \alpha_1 \alpha_{mn}^r - A_{11} \alpha_{mn}^r (1 + \alpha_1) + A_{11} \rho \cdot \bar{\omega}^r \right), \\
 D_{22} &= \zeta_2^r A_{11} \alpha_2 + \zeta_2 \\
 &\quad \left(A_{11} \alpha_1 \alpha_{mn}^r - A_{11} \alpha_{mn}^r (1 + \alpha_1) + A_{11} \rho \cdot \bar{\omega}^r \right), \\
 q &= -\alpha_{mn}^r (1 + \alpha_1) + \rho \cdot \bar{\omega}^r, \\
 k_t &= K_w + \alpha_{mn}^r K_s. \quad (35)
 \end{aligned}$$

۳. نتایج عددی

نتایج به دست آمده در پژوهش حاضر برای تمام نمودارها و جداول به صورت می‌بعد محاسبه شده است، تا بررسی‌ها مستقل از ابعاد صفحه صورت پذیرند. همچنین به منظور کوتاه شدن عبارت‌ها، پارامتر δ برابر نسبت ضخامت به عرض صفحه و η بیان‌گر نسبت منظر هستند، که به صورت رابطه‌ی ۳۶ تعریف می‌شوند:

$$\delta = \frac{h}{a}, \quad \eta = \frac{a}{b} \quad (36)$$

مقادیر عددی نسبت ثابت‌های کشسان جهت بررسی تأثیر خواص مکانیکی مصالح در کلیه‌ی تحلیل‌ها جز بررسی تأثیر تغییرات خواص ذکر شده، به صورت رابطه‌ی ۳۷ در نظر گرفته شده است:

$$\bar{G} = \frac{G_1}{G_2} = 2/5, \quad \bar{E} = \frac{E_1}{E_2} = 1, \quad \bar{\nu} = \frac{\nu_1}{\nu_2} = 1 \quad (37)$$

همچنین مقادیر بی‌بعد بسامد زاویه‌ی صفحه، سختی فنرهای وینکلر و سختی بررسی بستر ارجاعی مطابق رابطه‌ی ۳۸ لحاظ می‌شوند:^[۲۴]

$$\begin{aligned}
 \bar{K}_w &= \left(K_w a^r \right) / D, \quad \bar{K}_s = \left(K_s a^r \right) / D, \\
 \omega_{mn} &= \left(\bar{\omega}_{mn} a^r (\rho h / D)^{1/5} \right) / \pi^r \quad (38)
 \end{aligned}$$

مشخصات مکانیکی مصالح، شامل مدول کشسانی و ضریب پواسون در کلیه‌ی تحلیل‌ها برابر $E_1 = E_2 = 210 \text{ MPa}$ و $v = 0.3$ فرض می‌شوند. همچنین D ، سختی خمی صفحه است و به صورت رابطه‌ی ۳۹ تعریف می‌شود:

$$D = \frac{E h^r}{12(1 - \nu^r)} \quad (39)$$

با اعمال شرایط مرزی هندسی و استاتیکی و همچنین تعریف ضرایب جدید c_{15} الی c_{20} ، در نهایت توابع F و X به شکل روابط ۲۹ و ۳۰ به دست می‌آیند:

$$\begin{aligned}
 F(x, y, z) &= \sum_{m=1}^{\infty} \sum_{n=1}^{\infty} \sin\left(\frac{m\pi}{a}x\right) \cdot \sin\left(\frac{n\pi}{b}y\right) \\
 &\quad [c_1 \cosh(\zeta_1 z) + c_1 \sinh(\zeta_1 z) + c_2 \cosh(\zeta_2 z) + c_2 \sinh(\zeta_2 z)] \quad (29)
 \end{aligned}$$

$$\begin{aligned}
 \chi(x, y, z) &= \sum_{m=1}^{\infty} \sum_{n=1}^{\infty} \cos\left(\frac{m\pi}{a}x\right) \cdot \cos\left(\frac{n\pi}{b}y\right) \\
 &\quad [c_5 \cosh(s \cdot \gamma_0 z) + c_6 \sinh(s \cdot \gamma_0 z)] \quad (30)
 \end{aligned}$$

با افکار شرایط مرزی تنش در سطوح بالای و پایینی صفحه‌ی مورد بررسی، ضرایب جدید c_{15} الی c_{20} تعیین می‌شوند. در پژوهش حاضر، به دلیل عدم حضور بار خارجی، مقدار تنش‌های برشی در بالا و پایین صفحه و تنش نرمال در بالای صفحه به صورت رابطه‌ی ۳۱ است:

$$\begin{cases} \tau_{xz}(z = \pm \frac{h}{r}) = 0 \\ \tau_{yz}(z = \pm \frac{h}{r}) = 0 \\ \sigma_z(z = -\frac{h}{r}) = 0 \end{cases} \quad (31)$$

شرط مرزی تنش نرمال در صفحه‌ی تحتانی به دلیل وجود بستر ارجاعی دو پارامتری پاسترناک مطابق رابطه‌ی ۳۲ اعمال می‌شود:^[۱]

$$\sigma_z(z = +\frac{h}{r}) = -K_w w + K_s \nabla_x^r w \quad (32)$$

که در آن، K_w و K_s دو پارامتر ثابت کشسان هستند، که به ترتیب معرف سختی فنرهای وینکلر و سختی بررسی بستر هستند. دو شرط مرزی اول رابطه‌ی ۳۱ ایجاب می‌کنند که مقدار تابع X صفر شود و بر اساس آن ضرایب مجهول به چهار عدد کاوش می‌یابد. در ادامه، با استفاده‌ی تؤام از ۴ رابطه‌ی $\tau_{xz}(z = \pm \frac{h}{r}) = 0$ یا $\tau_{xz}(z = \pm \frac{h}{r}) = \tau_{xz}(z = -\frac{h}{r})$ چهار معادله حاصل می‌شود و برای رسیدن به جواب غیربدیهی لازم است دترمینان ضرایب ماتریس مطابق رابطه‌ی ۳۳ برابر صفر قرار داده شود، که در نهایت معادله‌ی مشخصه‌ی ارتعاش آزاد صفحه‌ی همسانگرد عرضی بر بستر پاسترناک تعیین و حل آن توسط نرم افزار مطلب، بسامد زاویه‌ی صفحه تعیین خواهد شد.

$$\begin{bmatrix} f_{11} & f_{12} & f_{12} & f_{12} \\ f_{11} & -f_{12} & f_{12} & -f_{12} \\ f_{21} & f_{22} & f_{22} & f_{22} \\ f_{21} & f_{22} & f_{22} & f_{22} \end{bmatrix} \begin{bmatrix} c_1 \\ c_2 \\ c_3 \\ c_4 \end{bmatrix} = 0 \quad (33)$$

که در آن، f_{ij} به صورت رابطه‌های ۳۴ بیان می‌شود:

$$\begin{aligned}
 f_{11} &= D_{11} \cosh(\zeta_1 h/2), \\
 f_{12} &= D_{11} \sinh(\zeta_1 h/2), \\
 f_{21} &= D_{11} \cosh(\zeta_2 h/2), \\
 f_{22} &= D_{11} \sinh(\zeta_2 h/2),
 \end{aligned}$$

۱.۳. صحت سنجی

به منظور اعتبارسنجی و اطمینان از صحت روش به کار گرفته شده در پژوهش حاضر، نتایج به دست آمده برای بسامد بی بعد صفحه‌ی مرعی و به ازاء سه مود نخست ارتعاشی، برای حالت خاص صفحه‌ی همسانگرد با برخی منابع [۲۴، ۲۲، ۲۱] و صفحه‌ی همسانگرد عرضی با نتایج ارائه شده توسط برخی منابع [۲۹، ۲۸، ۲۱] مقایسه و در جدول‌های ۱ و ۲ ارائه شده‌اند.

جدول ۱. مقایسه‌ی بسامد صفحه‌ی مرعی همسانگرد به ازاء $\bar{k}_s = 1^{\circ}$

δ	روش پژوهش	\bar{k}_w	w_{11}	w_{12}	w_{22}
پژوهش حاضر			۵,۵۴۰۶	۵,۵۷۱۷	۵,۵۴۰۶
میندلین [۲۱]		۱۰۰	۵,۵۴۰۶	۵,۵۷۱۷	۵,۵۴۰۶
ریتز [۲۲]			۵,۵۴۰۶	۵,۵۷۱۸	۵,۵۴۰۶
Exact ۳D		۰/۰۱	۵,۵۴۰۶	۵,۵۷۱۷	۵,۵۴۰۶
پژوهش حاضر			۸,۷۷۷۵	۵,۹۲۸۵	۸,۷۷۷۵
میندلین [۲۱]		۵۰۰	۸,۷۷۷۵	۵,۹۲۸۷	۸,۷۷۷۵
ریتز [۲۲]			۸,۷۷۷۵	۵,۹۲۸۵	۸,۷۷۷۵
Exact ۳D		۰/۰۱	۸,۷۷۷۵	۵,۹۲۸۵	۸,۷۷۷۵
پژوهش حاضر			۷,۷۲۷۲	۵,۲۹۵۳	۷,۷۲۷۲
میندلین [۲۱]		۲۰۰	۷,۷۲۸۷	۵,۳۰۴۳	۷,۷۲۸۷
ریتز [۲۲]			۷,۷۲۷۹	۵,۲۹۵۴	۷,۷۲۷۹
Exact ۳D		۰/۰۱	۷,۷۲۷۲	۵,۲۹۵۳	۷,۷۲۷۲
پژوهش حاضر			۸,۱۹۴۷	۵,۹۷۵۶	۸,۱۹۴۷
میندلین [۲۱]		۱۰۰۰	۸,۲۲۱۴	۶,۰۰۷۸	۸,۲۲۱۴
ریتز [۲۲]			۸,۱۹۵۴	۵,۹۷۵۷	۸,۱۹۵۴
Exact ۳D		۰/۰۱	۸,۱۹۴۷	۵,۹۷۵۶	۸,۱۹۴۷

جدول ۲. مقایسه‌ی بسامد صفحه‌ی مرعی همسانگرد عرضی به ازاء $\bar{k}_s = \bar{k}_w = 1^{\circ}$

δ	روش پژوهش	\bar{k}_w	w_{11}	w_{12}	w_{22}
پژوهش حاضر			۷,۹۰۱۳	۴,۹۶۰۷	۷,۹۰۱۳
DPF [۲]		۰/۰۲	۷,۹۰۱۳	۴,۹۶۰۷	۷,۹۰۱۳
FSDT [۲۸]			۸,۸۹۹۵	۴,۹۶۰۰	۸,۸۹۹۵
TSDT [۲۹]			۸,۸۹۹۶	۴,۹۶۰۰	۸,۸۹۹۶
پژوهش حاضر			۶,۳۳۷۰	۴,۲۶۲۹	۶,۳۳۷۰
DPF [۲]		۰/۰۱	۶,۳۳۷۰	۴,۲۶۲۹	۶,۳۳۷۰
FSDT [۲۸]			۶,۳۱۰۰	۴,۲۵۰۵	۶,۳۱۰۰
TSDT [۲۹]		۰/۰۱	۶,۳۱۶۹	۴,۲۵۲۷	۶,۳۱۶۹
پژوهش حاضر			۴,۴۲۷۷	۳,۲۰۱۰	۴,۴۲۷۷
DPF [۲]		۰/۰۲	۴,۴۲۷۷	۳,۲۰۱۰	۴,۴۲۷۷
FSDT [۲۸]			۴,۳۷۵۵	۳,۱۷۳۷	۴,۳۷۵۵
TSDT [۲۹]		۰/۰۲	۴,۴۱۰۵	۳,۱۸۷۳	۴,۴۱۰۵

جدول ۱ نشان می‌دهد که مقادیر بسامد زاویه‌ی بی بعد شده با افزایش سختی وینکلر افزایش یافته است، که شدت آن در مودهای بالاتر بیشتر است. علاوه بر این، با مقایسه‌ی نتایج پژوهش حاضر با برخی منابع [۲۲، ۲۱] مشخص می‌شود که مقدار بسامد بی بعد برای تمام منابع در صفحات نازک $\delta = ۰/۰۱$ تقریباً با هم برابر است. با افزایش میران δ و سختی بستر مشاهده می‌شود که اختلاف نتایجی میان پژوهش حاضر و برخی منابع [۲۲، ۲۱] که در آنها از روش تحلیلی استفاده شده است، وجود ندارد. اختلاف به وجود آمده بین نتایج پژوهش حاضر با مرجع [۲۱] را می‌توان به ضریب تصحیح برشی استفاده شده در روش میندلین ربط داد، که توزیع نتش‌ها در ضخامت را به صورت خطی در نظر می‌گیرد.

در جدول ۲ نیز ملاحظه می‌شود مقادیر بسامد زاویه‌ی بی بعد با افزایش پارامتر δ کاهش پیدا کرده است، که شدت آن در مودهای بالاتر بیشتر نمود پیدا کرده است. با مقایسه‌ی نتایج پژوهش حاضر با برخی منابع مشخص شد که اختلافی بین نتایج پژوهش حاضر و مرجع [۲] به علم بهره‌مندی از روش واحد وجود ندارد. ضمناً اختلاف نتایج پژوهش حاضر با منابع دیگر [۲۹، ۲۸] که به ترتیب از تئوری برشی مرتبه‌های اول و سوم بهره برده‌اند، بسیار ناچیز است؛ که این اختلاف را می‌توان به فرض‌های ساده‌شونده در خصوص توزیع نتش برشی در ضخامت صفحه در مراجع ذکر شده نسبت داد و با افزایش ضخامت صفحه، اختلاف نتایج نیز قدری افزایش یافته است.

۲.۳. تحلیل پارامتری

در بخش کنونی تأثیر ضخامت، ابعاد سختی فشرهای وینکلر، سختی برشی بستر ارجاعی و مشخصات مکانیکی صالح صفحه در بسامد بررسی شده است. برای بررسی تأثیر ضخامت در بسامد صفحه‌ی مرعی همسانگرد عرضی و نیز همسانگرد در جدول‌های ۳ و ۴ به ترتیب بسامد زاویه‌ی بی بدون بعد سه مود ارتعاشی صفحه به ازاء نسبت‌های مختلف δ بر حسب پارامترهای بستر پاسترناک ارائه شده است.

از نتایج ارائه شده در جدول‌های ۳ و ۴ می‌توان نتیجه گرفت که با افزایش ضخامت صفحه، بسامد بی بعد صفحه کاهش یافته است، به نحوی که مقدار کاهش مذکور در مودهای بالاتر با شدت بیشتری همراه بوده است. همچنین این افزایش پارامترهای سختی بستر وینکلر و سختی برشی پاسترناک، بسامد بی بعد صفحه افزایش یافته است، تا جایی که به یک نقطه همگرا شده و افزایش بیشتر سختی بستر، تأثیر بسیار ناچیزی در افزایش بسامد داشته است. به عنوان نمونه در جدول ۳ برای مود اول و $\delta = ۰/۰۱$ با افزایش مقدار \bar{k}_w از $۱۰^۰$ به $۱۰^۱$ و \bar{k}_s از $۱۰^۰$ به $۱۰^۱$ ، بسامد به میران $۲\%/\text{افزایش یافته است}$: همچنین این نسبت برای $\delta = ۰/۰۵$ به $۰/۰۴$ افزایش ۲٪ افزایش یافته است. لازم به ذکر است، که شدت افزایش بسامد در صورت افزایش سختی‌های بستر، با ضخیمتر شدن صفحه کاهش می‌یابد و در مودهای ارتعاشی بالاتر، بیشتر می‌شود. همچنین با مقایسه‌ی نتایج در جدول‌های ۳ و ۴ ملاحظه می‌شود که اختلاف زیادی بین نتایج صفحه‌ی همسانگرد عرضی و همسانگرد، به ویژه در صفحات نازک وجود ندارد و افزایش ضخامت و مودهای نوسان بر این میران افزوده است.

به منظور بررسی تأثیر بستر وینکلر در بسامد صفحه‌ی همسانگرد عرضی و همسانگرد، غیربرایت بسامد بی بعد مودهای اول، سوم و ششم برای صفحه‌ی همسانگرد عرضی و مود اول برای صفحه‌ی همسانگرد، برحسب سختی وینکلر در شکل‌های ۲ الی ۵ مشاهده می‌شود.

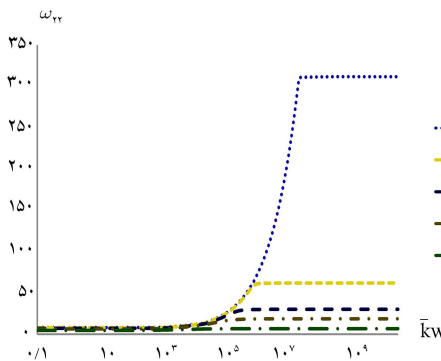
جدول ۳. بسامد بی بعد صفحه‌ی همسانگرد عرضی به ازاء نسبت‌های مختلف.

ω_{22}	ω_{12}	ω_{11}	\bar{k}_s	\bar{k}_w	δ
۷,۹۷۵۴	۴,۹۹۰۴	۱,۹۹۸۵	۰	۰	
۸,۰۲۸۱	۵,۰۶۷۰	۲,۶۵۴۴	۱۰	۱۰۲	
۱۲,۴۴۲۶	۹,۲۶۲۰	۵,۸۷۴۹	۱۰۳	۱۰۳	۰/۱
۳۱,۲۳۶۳	۲۵,۱۷۳۳	۱۷,۵۸۴۱	۱۰۳	۱۰۴	
۳۰,۰۶۳۱	۲۴۴,۷۳۸۰	۱۵۵,۹۰۲۲	۱۰۵	۱۰۶	
۳۱۱,۷۹۶۴	۲۴۶,۵۲۱۴	۱۵۵,۹۲۹۳	۱۰۶	۱۰۷	
۶,۳۳۸۵	۴,۲۶۳۸	۱,۸۶۳۰	۰	۰	
۶,۹۸۰۰	۴,۸۹۶۲	۲,۵۳۸۹	۱۰	۱۰۲	
۱۱,۱۱۷۶	۸,۶۷۱۵	۵,۷۴۴۲	۱۰۳	۱۰۳	
۲۵,۸۵۸۱	۲۰,۶۸۵۸	۱۵,۱۸۳۶	۱۰۴	۱۰۴	۰/۱
۳۰,۱۶۸۳	۲۲,۲۰۶۸	۱۵,۴۹۲۴	۱۰۵	۱۰۶	
۳۰,۱۸۰۵	۲۲,۲۱۱۶	۱۵,۴۹۳۰	۱۰۶	۱۰۷	
۲,۱۲۰۹	۱,۶۳۰۲	۰,۹۴۵۱	۰	۰	
۲,۳۳۳۹	۲,۲۵۶۶	۱,۱۶۶۹	۱۰	۱۰۲	
۲,۷۹۰۷	۲,۰۵۲۱۴	۲,۰۵۰۲	۱۰۲	۱۰۲	
۲,۸۸۳۳	۲,۰۵۷۲	۲,۱۱۷۰	۱۰۳	۱۰۴	۰/۵
۲,۹۰۷۳	۲,۰۵۶۱۲	۲,۱۲۴۶	۱۰۵	۱۰۶	
۳,۰۱۷۹	۲,۸۸۷۱	۲,۱۶۰۰	۱۰۶	۱۰۷	

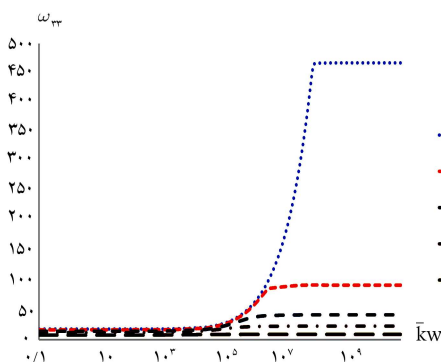
جدول ۴. بسامد بی بعد صفحه‌ی همسانگرد به ازاء نسبت‌های مختلف.

ω_{22}	ω_{12}	ω_{11}	\bar{k}_s	\bar{k}_w	δ
۷,۹۸۸۸	۴,۹۹۵۶	۱,۹۹۹۳	۰	۰	
۸,۰۴۰۶	۵,۰۷۱۷	۲,۶۶۵۰	۱۰	۱۰۲	
۱۲,۴۵۱۲	۹,۲۶۴۸	۵,۸۷۵۲	۱۰۳	۱۰۳	
۳۱,۲۳۹۷	۲۵,۱۷۴۴	۱۷,۵۸۴۲	۱۰۴	۱۰۴	۰/۱
۳۰,۰۶۳۱	۲۴۴,۷۳۸۰	۱۵۵,۹۰۲۲	۱۰۵	۱۰۶	
۳۱۱,۷۹۶۴	۲۴۶,۵۲۱۴	۱۵۵,۹۲۹۳	۱۰۶	۱۰۷	
۷,۱۰۳۰	۴,۶۲۲۲	۱,۹۳۴۲	۰	۰	
۷,۶۶۶۶	۵,۰۲۳۷	۲,۵۸۹۹	۱۰	۱۰۲	
۱۱,۴۷۹۲	۸,۸۱۱۵	۰,۷۶۰۵	۱۰۲	۱۰۲	
۲۵,۸۵۸۲	۲۱,۸۰۳۳	۱۵,۱۸۳۹	۱۰۳	۱۰۴	۰/۱
۳۰,۱۷۱۲	۲۲,۲۰۸۰	۱۵,۴۹۲۴	۱۰۵	۱۰۶	
۳۰,۱۸۰۵	۲۲,۲۱۱۶	۱۵,۴۹۳۰	۱۰۶	۱۰۷	
۳,۱۰۸۰	۲,۳۳۱۱	۱,۲۵۹۰	۰	۰	
۳,۴۲۷۵	۲,۷۰۹۶	۱,۷۴۳۷	۱۰	۱۰۲	
۳,۰۰۷۳	۲,۸۶۴۱	۲,۰۹۷۴	۱۰۲	۱۰۲	
۳,۰۱۶۸	۲,۸۸۴۷	۲,۱۵۳۶	۱۰۳	۱۰۴	۰/۵
۳,۰۱۷۶	۲,۸۸۷۱	۲,۱۶۰۰	۱۰۵	۱۰۶	
۳,۰۱۷۹	۲,۸۸۷۱	۲,۱۶۰۰	۱۰۶	۱۰۷	

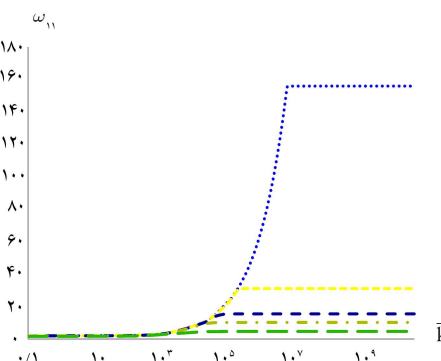
شکل ۲. بسامد بی بعد مود اول صفحه‌ی مربعی همسانگرد عرضی به ازاء مقادیر \bar{k}_w مختلف.



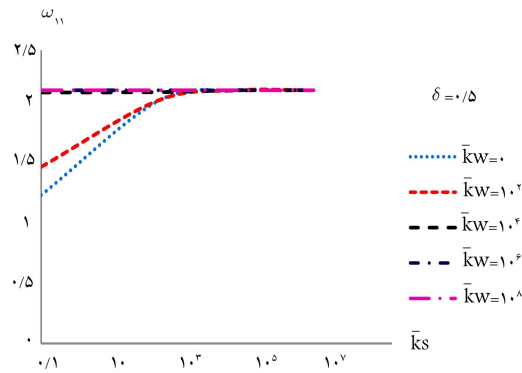
شکل ۳. بسامد بی بعد مود سوم صفحه‌ی مربعی همسانگرد عرضی به ازاء مقادیر \bar{k}_w مختلف.



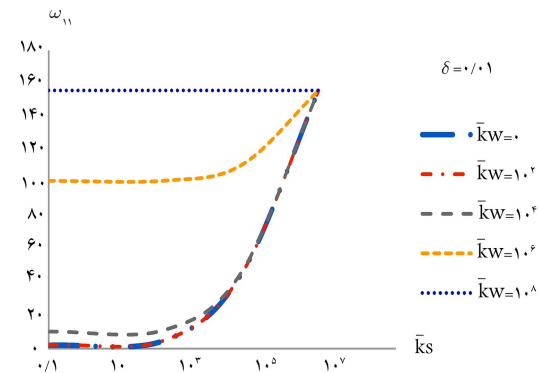
شکل ۴. بسامد بی بعد مود ششم صفحه‌ی مربعی همسانگرد عرضی به ازاء مقادیر \bar{k}_w مختلف.



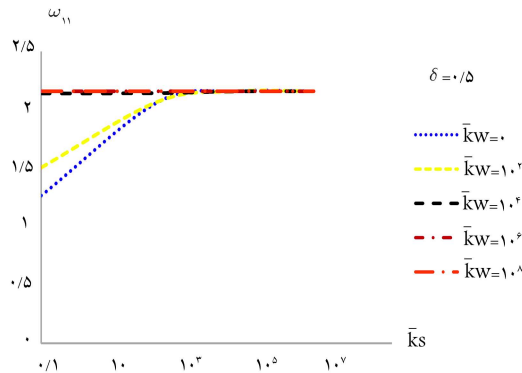
شکل ۵. بسامد بی بعد مود اول صفحه‌ی مربعی همسانگرد به ازاء مقادیر مختلف.



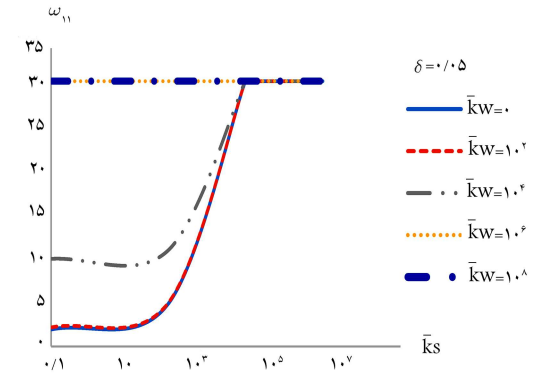
شکل ۸. بسامد بی بعد مود اول صفحه‌ی مربعی همسانگرد عرضی به ازاء مقادیر مختلف $\delta = 0/5^\circ$.



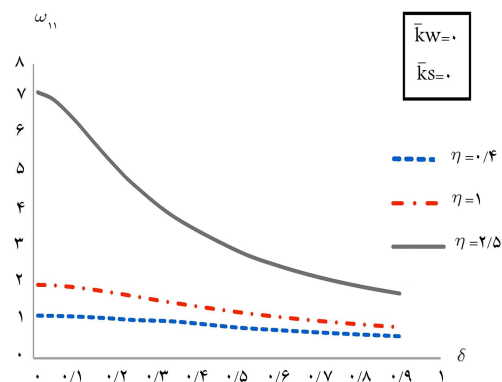
شکل ۶. بسامد بی بعد مود اول صفحه‌ی مربعی همسانگرد عرضی به ازاء مقادیر مختلف $\delta = 0/0^\circ$.



شکل ۹. بسامد بی بعد مود اول صفحه‌ی مربعی همسانگرد به ازاء مقادیر مختلف $\delta = 0/5^\circ$.



شکل ۷. بسامد بی بعد مود اول صفحه‌ی مربعی همسانگرد عرضی به ازاء مقادیر مختلف $\delta = 0/0^\circ$.



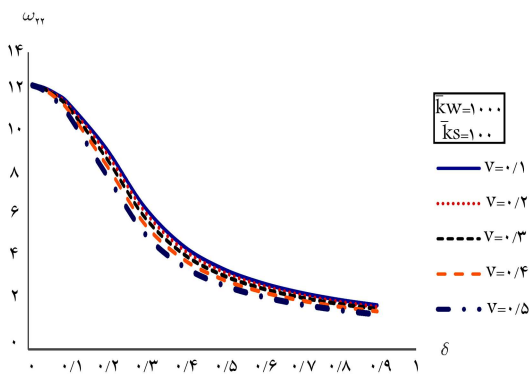
شکل ۱۰. بسامد بی بعد مود اول صفحه‌ی همسانگرد عرضی به ازاء مقادیر مختلف η .

می دهد، که بیان‌گر حد بسامد بی بعد است. به منظور بررسی تأثیر ابعاد صفحه در بسامد بی بعد مود اول، شکل‌های ۱۲ الی ۱۵ به ازاء $\eta = 0/4, 1, 0/5, 2/5$ برای مقادیر مختلف \bar{k}_w و \bar{k}_s بررسی شده است. نتایج ارائه شده در شکل‌های مذکور نشان می دهد که با افزایش η ، مقادیر بسامد بی بعد افزایش و شدت آن با افزایش \bar{k}_w و \bar{k}_s بیشتر و با ضخیم تر شدن صفحه کاهش یافته است. ضمناً آهنگ تغییرات بسامد برای صفحات با η بالاتر، شدت بیشتری داشته است، که این شدت با افزایش سختی وینکلار و بستر پاشی بیشتر هم می شود.

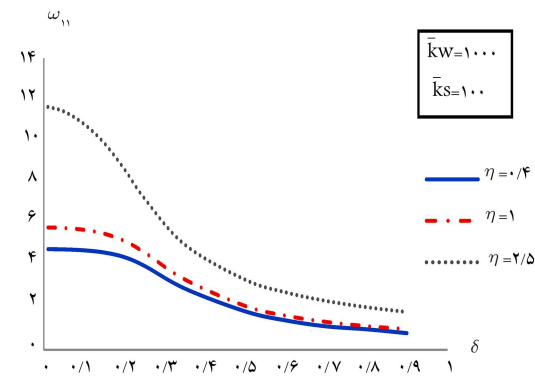
با توجه به نمودارهای ارائه شده در شکل‌های ۲ الی ۵ مشاهده می شود که با افزایش سختی وینکلار، بسامد بدون بعد افزایش و شدت آن با افزایش ضخامت کاهش یافته است. ضمناً افزایش بیشتر سختی بستر از مقادیر معینی، تأثیر بسیار ناچیزی در افزایش بسامد داشته است، به طوری که بسامد در این حالت به مقادیر تقریباً ثابتی میل پیدا کرده است. لذا مقادار مذکور را می توان بیان‌گر حد بسامد برای نسبت‌های مختلف ضخامت به عرض صفحه در هر مود دانست. به عنوان نمونه، مقادار بی بعد بسامد زاویه‌یی در صفحه‌ی همسانگرد عرضی برای مود اول و ۰/۱ برابر ۱۵۶ میل پیدا کرده است. با مقایسه‌ی نمودارها نیز می توان پی برد که افزایش بسامد بی بعد به دلیل افزایش سختی وینکلار در مودهای بالاتر ارتعاشی، با شدت بیشتری همراه است. همچنین با مقایسه‌ی صفحه‌ی همسانگرد عرضی و همسانگرد ملاحظه می شود که اختلاف زیادی بین صفحه‌ی همسانگرد عرضی و همسانگرد وجود ندارد.

جهت بررسی اثر پارامتر پرشی بستر پاسترناک (\bar{k}_s) در رفتار ارتعاشی صفحه، در شکل‌های ۶ الی ۹، بسامد زاویه‌یی بی بعد مود اول صفحه به ازاء مقادیر مختلف سختی وینکلار و برای نسبت ضخامت‌های $(\delta, 1, 0/5, 0/05, 0/05)$ برای صفحه‌ی همسانگرد عرضی و به ازاء نسبت ضخامت‌های $(\delta, 0/5, 0/5)$ برای صفحه‌ی همسانگرد، مشاهده می شود.

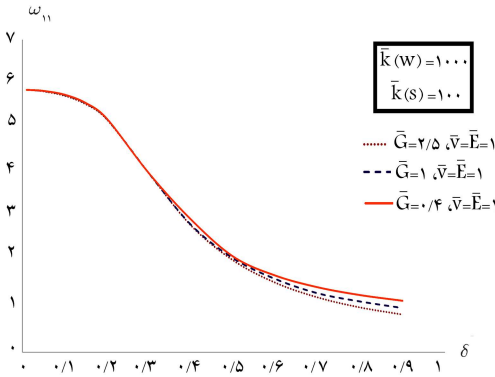
با توجه به شکل‌های ۶ الی ۹ می توان دریافت که با افزایش \bar{k}_s بسامد بی بعد افزایش یافته و شدت آن با افزایش ضخامت کاهش یافته است. همچنین با افزایش بیش از حد \bar{k}_s که مقادار آن برای هر ۵ متفاوت است، تغییرناچیزی در بسامد روی



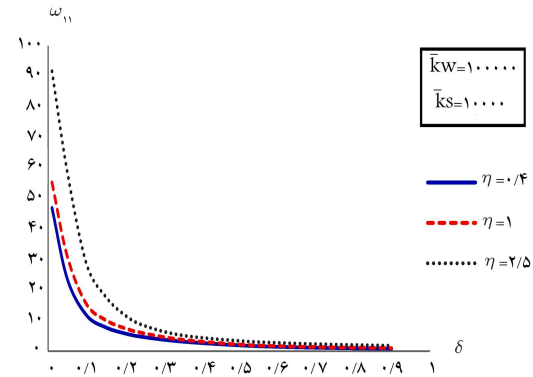
شکل ۱۴. بسامد بی بعد مود سوم صفحه‌ی مربعی همسانگرد عرضی به ازاء مقادیر مختلف v .



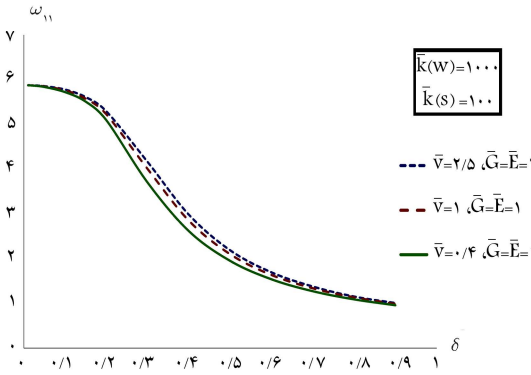
شکل ۱۵. بسامد بی بعد مود اول صفحه‌ی همسانگرد عرضی به ازاء مقادیر مختلف η .



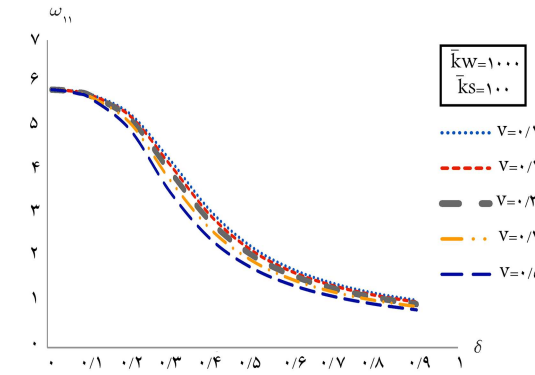
شکل ۱۶. تأثیر نسبت مدول پرشی \bar{G} در بسامد مود اول صفحه‌ی مربعی همسانگرد عرضی.



شکل ۱۷. بسامد بی بعد مود اول صفحه‌ی همسانگرد عرضی به ازاء مقادیر مختلف η .



شکل ۱۸. تأثیر نسبت پواسیون \bar{v} در بسامد مود اول صفحه‌ی مربعی همسانگرد عرضی.



شکل ۱۹. بسامد بی بعد مود اول صفحه‌ی مربعی همسانگرد عرضی به ازاء مقادیر مختلف v .

جهت بررسی تأثیر تغییرات خواص مکانیکی (\bar{G} , \bar{v} و \bar{E}) راستای ضخامت صفحه‌ی همسانگرد عرضی در مقادیر بسامدهای طبیعی، در جدول‌های ۵ الی ۷ و شکل‌های ۱۵ الی ۱۷، تغییرات بسامد بی بعد مود اول صفحه‌ی مربعی به ازاء ($\bar{k}_w = 100$) و ($\bar{k}_s = 100$) بر حسب δ برای مقادیر مختلف (\bar{G} , \bar{v} و \bar{E}) ارائه شده است.

با توجه به جدول ۵ و شکل ۱۷ مشاهده می‌شود که در حالت ($\bar{G} = 0$), به دلیل این‌که سختی پرشی در راستای ضخامت از سختی پرشی در صفحه‌ی همسانگرد بیشتر است، مقادیر بسامد بی بعد در صفحه‌ی مذکور، بیشتر از مقادیر

جهت بررسی تأثیر ضربی پواسون در رفتار ارتعاشی صفحه، نتایج بسامد مودهای اول و سوم صفحه‌ی همسانگرد عرضی برحسب δ و به ازاء \bar{k}_w و \bar{k}_s ثابت در شکل‌های ۱۳ و ۱۴ مشاهده می‌شود. از شکل‌های مذکور پیدا است که با افزایش ضربی پواسون، بسامد بی بعد تقلیل یافته و شدت کاهش آن در مود سوم بیشتر شده و با ضخیم شدن صفحه کاهش یافته است، تا جایی که در صفحات خیلی ضخیم به سمت صفر میل کرده است. همچنین وابستگی تغییرات بسامد به ضربی پواسون کمتر از سایر پارامترها، مانند: ضخامت، سختی وینکلر، سختی بستر ارتعاشی و ابعاد است.

جدول ۵. بررسی تأثیر \bar{G} در بسامد مود اول صفحه (ω_{11}) .

$\bar{G} = \circ / 4, \bar{v} = \bar{E} = 1$	$\bar{G} = 1, \bar{v} = \bar{E} = 1$	$\bar{G} = 2/5, \bar{v} = \bar{E} = 1$	δ
۵,۸۷۵۳	۵,۸۷۵۲	۵,۸۷۴۹	۰,۰ ۱
۵,۸۵۲۳	۵,۸۴۹۷	۵,۸۴۳۵	۰,۰ ۵
۵,۷۶۷۶	۵,۷۶۰۵	۵,۷۴۴۲	۰, ۱
۵,۲۲۹۶	۵,۲۲۴۱	۵,۲۱۲۷	۰, ۲
۴,۰۰۳۲	۴,۰۰۰۸	۳,۹۹۶۶	۰, ۳
۲,۹۸۳۹	۲,۸۴۵۲	۲,۸۲۸۹	۰, ۴
۲,۱۳۶۲	۲,۰۹۷۴	۲,۰۵۰۲	۰, ۵
۱,۷۱۲۹	۱,۶۳۵۳	۱,۵۵۱۷	۰, ۶
۱,۴۵۲۹	۱,۳۱۷۹	۱,۲۲۴۷	۰, ۷
۱,۲۷۹۰	۱,۱۳۵۶	۱,۰۰۱۵	۰, ۸
۱,۱۵۲۱	۰,۹۸۹۵	۰,۸۴۲۸	۰, ۹

جدول ۶. بررسی تأثیر \bar{v} در بسامد مود اول صفحه (ω_{11}) .

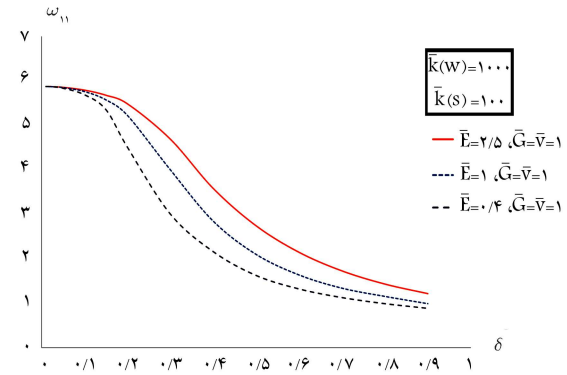
$\bar{v} = \circ / 4, \bar{G} = \bar{E} = 1$	$\bar{v} = 1, \bar{G} = \bar{E} = 1$	$\bar{v} = 2/5, \bar{G} = \bar{E} = 1$	δ
۵,۸۷۴۷	۵,۸۷۵۲	۵,۸۷۵۴	۰,۰ ۱
۵,۸۳۷۵	۵,۸۴۹۷	۵,۸۵۴۸	۰,۰ ۵
۵,۷۲۲۴	۵,۷۶۰۵	۵,۷۷۸۷	۰, ۱
۵,۰۱۹۷	۵,۲۲۴۱	۵,۲۹۰۵	۰, ۲
۳,۶۹۷۲	۴,۰۰۰۸	۴,۱۵۸۳	۰, ۳
۲,۶۱۲۹	۲,۸۴۵۲	۲,۹۷۹۷	۰, ۴
۱,۹۴۹۳	۲,۰۹۴۷	۲,۱۸۵۵	۰, ۵
۱,۵۳۸۵	۱,۶۳۵۳	۱,۶۹۳۰	۰, ۶
۱,۲۷۲۴	۱,۳۱۷۹	۱,۳۷۷۰	۰, ۷
۱,۰۹۰۳	۱,۱۳۵۶	۱,۱۵۴۲	۰, ۸
۰,۹۵۸۴	۰,۹۸۹۵	۱,۰۰۸۰	۰, ۹

جدول ۷. بررسی تأثیر \bar{E} در بسامد مود اول صفحه (ω_{11}) .

$\bar{E} = \circ / 4, \bar{G} = \bar{v} = 1$	$\bar{E} = 1, \bar{G} = \bar{v} = 1$	$\bar{E} = 2/5, \bar{G} = \bar{v} = 1$	δ
۵,۸۷۵۴	۵,۸۷۵۲	۵,۸۷۴۷	۰,۰ ۱
۵,۸۵۰۷	۵,۸۴۹۷	۵,۸۳۵۳	۰,۰ ۵
۵,۷۹۲۶	۵,۷۶۰۵	۵,۶۸۸۵	۰, ۱
۵,۴۸۴۵	۵,۲۲۴۱	۴,۵۰۸۰	۰, ۲
۴,۶۸۹۸	۴,۰۰۰۸	۳,۰۰۰۵۳	۰, ۳
۳,۵۸۱۰	۲,۸۴۵۲	۲,۱۵۹۵	۰, ۴
۲,۷۴۰۴	۲,۰۹۷۴	۱,۶۲۴۰	۰, ۵
۲,۱۴۴۷	۱,۶۳۵۳	۱,۳۲۰۴	۰, ۶
۱,۷۲۶۹	۱,۳۱۷۹	۱,۱۲۶۸	۰, ۷
۱,۴۳۰۸	۱,۱۳۵۶	۰,۹۸۹۷	۰, ۸
۱,۲۱۵۵	۰,۹۸۹۵	۰,۸۸۴۸	۰, ۹

جدول ۹. بسامد مود سوم صفحه‌ی مربعی همسانگرد بر بستر پاسترناک.

$\bar{\omega}_{22} (rad/s)$	\bar{K}_s	\bar{K}_w	δ
۱۷۷۸۹, ۴۲۹۱۹			۰, ۱
۲۷۱۷۶, ۳۹۵۸	10^2	10^3	۰, ۵
۲۶۵۵۷, ۶۴۲۲			۰, ۹
۴۰۰۷۲, ۷۰۷۹			۰, ۱
۲۷۲۵۰, ۱۶۳۳	10^3	10^4	۰, ۵
۲۶۵۵۸, ۳۶۰۷			۰, ۹



شکل ۱۷. تأثیر نسبت مدول کشسانی \bar{E} در بسامد مود اول صفحه‌ی مربعی همسانگرد عرضی.

جدول ۸. بسامد مود سوم صفحه‌ی مربعی همسانگرد عرضی بر بستر پاسترناک.

$\bar{\omega}_{22} (rad/s)$	\bar{K}_s	\bar{K}_w	δ
۱۷۲۲۹, ۱۰۴۹			۰, ۱
۲۲۳۴۱, ۵۰۳۸	10^2	10^3	۰, ۵
۱۹۱۸۳, ۸۵۴۲			۰, ۹
۴۰۰۷۲, ۵۶۶۱			۰, ۱
۲۲۵۱۰, ۴۳۴۴	10^2	10^3	۰, ۵
۱۹۱۸۹, ۵۰۲۹			۰, ۹

صفحه‌ی همسانگرد ($\bar{G} = 1$) است و برای صفحه‌ی همسانگرد نیز بیشتر از صفحه با ($\bar{G} = 2/5$) است. همچنین در رونق‌های نازک به دلیل این‌که اثر تغییرات خواص در راستای ضخامت نسبت به خواص صفحه‌ی ناچیز است، بین مقادیر بسامد بدون بعد صفحه‌ی همسانگرد عرضی و همسانگرد، اختلاف ناچیز وجود دارد.

علاوه بر این، با بررسی جدول‌های ۶ و ۷ و شکل‌های ۱۶ و ۱۷ می‌توان بی‌پردازی که با افزایش تغییرات نسبت مدول کشسانی (\bar{E}) و نسبت ضریب پواسون ($\bar{\nu}$) بسامد بی‌بعد صفحه‌ی همسانگرد عرضی به ترتیب کاهش و افزایش خواهد نداشت. ضمناً تغییرات نسبت $\bar{\nu}$ و \bar{G} ، تأثیر کمتری در مقدار بسامد بی‌بعد، نسبت به \bar{E} می‌گذارد، که تأثیر آنها در صفحات نازک قابل چشم‌پوشی است.

به منظور ارزیابی بسامد بعددار صفحه‌ی همسانگرد عرضی و نیز همسانگرد، در جدول‌های ۸ و ۹، بسامد بعددار مود سوم صفحه‌ی مربعی برای مقادیر مختلف سختی فزرهای وینکلار و سختی برای بستر ارجاعی، بر حسب نسبت ضخامت‌های گوناگون ارائه شده است.

با توجه به برقراری رابطه‌ی مستقیم بین بسامد صفحات با مقادیر سختی آنها، انتظار می‌رفت با افزایش ضخامت، همواره بسامد بعددار افزایش یابد، اما با مشاهده نتایج جدول‌های ۸ و ۹ می‌توان دریافت که به دلیل وجود بستر پاسترناک، چنین رابطه‌یی همواره صدق نمی‌کند و بسته به مقادیر سختی‌های بستر و صفحه، بسامد می‌تواند کاهش یابد.

در پژوهش حاضر، حل دقیق ارتعاش آزاد صفحات همسانگرد عرضی مستطبی بر بستر ارجاعی پاسترناک با استفاده از توابع پتانسیل اسکندری - قادر به صورت تحلیلی ارائه شده است. بر این اساس، نتایج به دست آمده به این شرح هستند:

(۱) روش مورد استفاده در پژوهش حاضر قابلیت تعیین بسامد ارتعاش آزاد هر مود نوسان از صفحه با ضخامت‌های مختلف و بدون استفاده از فرضیات ساده‌شوندگی نظری توزیع تنش و کرنش در ضخامت صفحه را دارد.

(۲) با افزایش نسبت ضخامت به عرض صفحه به دلیل افزایش میزان کرنش‌های برشی، بسامد زاویه‌یی بی‌بعد شده کاهش یافته است، که میزان کاهش آن در مودهای بالاتر بیشتر نمود پیدا کرده است.

(۳) با افزایش سختی وینکلار و سختی برشی بستر برشی ارجاعی بسامد زاویه‌یی بی‌بعد شده افزایش یافته است، که شدت آن در مودهای بالاتر بیشتر شده است.

(۴) با افزایش نسبت منظر، بسامد بی‌بعد افزایش یافته است، که میزان افزایش آن در مودهای بالاتر بیشتر بوده است.

(۵) با افزایش ضریب پواسون بسامد بی‌بعد کاهش یافته است، که شدت آن در مودهای بالاتر بیشتر شده و با ضخیم‌تر شدن صفحه کاهش یافته است، تا جایی که در صفحات خیلی ضخیم این اختلاف به سمت صفر میل پیدا کرده است.

(۶) با افزایش تغییرات مدول برشی (\bar{G}) و مدول کشسانی (\bar{E})، بسامد بی‌بعد صفحه‌ی همسانگرد عرضی، کاهش و با افزایش تغییرات ضریب پواسون ($\bar{\nu}$)، بسامد بدون بعد، افزایش یافته است. ضمناً تأثیر تغییرات مدول کشسانی (\bar{E}) در قیاس با ضریب پواسون ($\bar{\nu}$) و مدول برشی (\bar{G}), در محاسبه‌ی مقادیر بسامد بدون بعد و علی‌الخصوص در صفحه‌ی ضخیم بیشتر بوده است.

(۷) با توجه به برقراری رابطه‌ی مستقیم بین بسامد صفحات با مقادیر سختی آنها، انتظار می‌رفت با افزایش ضخامت، همواره بسامد بعددار افزایش یابد، اما با مشاهده نتایج جدول‌های ۸ و ۹ می‌توان دریافت که به دلیل وجود بستر پاسترناک، چنین رابطه‌یی همواره صدق نمی‌کند و بسته به مقادیر سختی‌های بستر و صفحه، بسامد می‌تواند کاهش یابد.

پانوشت‌ها

1. Chladni
2. Leissa
3. Bert
4. Reissner- Mindlin
5. Winkler
6. Boussinesq
7. Pasternak
8. Vlasov
9. Leontiev
10. Horvath
11. Kerr
12. Xiang
13. Zhou
14. functionally graded material
15. Composite
16. Shi
17. Park
18. Choi
19. first-order shear deformation theory
20. third- order shear deformation theory
21. Galerkin
22. Love
23. Papkovich- neuber
24. Lekhnitskii

منابع (References)

1. Roshanbakhsh, M.Z. and Navayi Neya, B. "Free vibration of beam environments on the pasternak bed", *Journal of Modarres Civil Engineering*, **17**(1), pp. 89-100 (1396).
2. Bakshandeh, A., Navayi Neya, B. and Nateghi Babagi, P. "Benchmark solution for free vibration analysis of trasversely isotropic thick rectangular plates", *Acta Mechanica*, **34**(5), pp.3977-3995 (2013).
3. Leissa, A.W. "Vibration of Plates", *NASA SP-160* (1969).
4. Leissa, A.W. "The free vibration of rectangular plates", *Journal of Sound and Vibration*, **31**(3), pp. 257-293 (1973).
5. Leissa, A.W. "Recent research in plate vibrations: classical theory", *The Shock and Vibration Digest*, **9**(10), pp. 13-24 (1977).
6. Leissa, A.W. "Recent research in plate vibrations, 1973-1976: Complicating eects", *The Shock and Vibration Digest*, **10**(12), pp. 21-35 (1978).
7. Leissa, A.W. "Plate vibration research, 1976-1980: classical theory", *The Shock and Vibration Digest*, **13**(9), pp. 11-22 (1981).
8. Leissa, A.W. "Plate vibration research, 1976-1980: Complicating eects", *The Shock and Vibration Digest*, **13**(10) (1981).
9. Leissa, A.W. "Recent studies in plate vibrations, 1981-1985. Part I: classical theory", *The Shock and Vibration Digest*, **19**(2), pp. 11-18 (1987).
10. Leissa, A.W. "Recent studies in plate vibrations, 1981-1985. part II: Complicating eects", *The Shock and Vibration Digest*, **19**(3), pp. 10-24 (1987).
11. Bert, C.W. "Dynamics of composite and sandwich panels, parts I and II", *The Shock and Vibration Digest*, **8**(11), pp. 15-24 (1976).
12. Bert, C.W. "Recent research in composite and sandwich plate dynamics", *The Shock and Vibration Digest*, **11**(10), pp. 13-23 (1979).
13. Bert, C.W. "Research on dynamics of composite and sandwich plates", *The Shock and Vibration Digest*, **14**(10), pp. 17-34 (1982).
14. Bert, C.W. "Research on dynamic behavior of composite and sandwich plates, part IV", *The Shock and Vibration Digest*, **17**(11), pp. 3-25 (1985).
15. Bert, C.W. "Research on dynamicbehavior of composite and sandwich plates, V, partI", *The Shock and Vibration Digest*, **23**(6), pp. 3-14 (1991).
16. Bert, C.W. "Research on dynamic behavior of composite and sandwich plates, V, part II", *The Shock and Vibration Digest*, **23**(7), pp. 9-21 (1991).
17. Winkler, E. "Die Lehre Von der Elastizitat und Festigkeit", *Dominicus, Prague* (1867).
18. Pasternak, P.-L. "On a new method of analysis of an elastic foundation by means of two foundation constants", *Gps. Ize. Lit. Po Strait i Arkh* (1954).
19. Samadi, GH., Navayi Neya, B. and Nategh, P. "Bending analysis of thick rectangular plates on pasternak bed", *8th National Civil Engineering Congress of Babol Noushrooni University of Technology* (1393) (in persian).
20. Xiang, Y., Wang, C.-M. and Kitipornchai, S. "Exact vibration solution for initially stressed mindlin plates on pasternak foundation", *International Journal of Mechanical Sciences*, **36**(4), pp. 311-316 (1994).
21. Xiang, Y., Liew, K.-M. and Kitipornchai, S. "Vibration analysis of retangular mindlin plates resting ON elastic edge supports", *Journal of Sound and Vibration*, **204**(1), pp. 1-16 (1997).
22. Zhou, D., Cheung, Y.-K., Lo, S.-H. and et al. "Three-dimensional vibration analysis of rectangular thick plates on pasternak foundation", *International Journal for Numerical Methods in Engineering*, **59**(10), pp. 1313-1334 (2004).
23. Hosseini Hashemi, S., Rokni Damavandi Taher, H. and Akhavan, H. "Free vibration of functionally graded Rectangular plates using first-order shear deformation plate theory", *Applied Mathematiai Modelling*, **34**(5), pp. 1276-1291 (2010).
24. Dehghany, M. and Farajpour, A. "Free vibrations of simplay supported rectangular plates on pasternak foundation: An exact and three-dimensional solution", *Engineering Solid Mechanics*, **2**(1), pp. 29-42 (2013).
25. Rahbar Ranji, A. and Shahbazzabar, A. "Free vibration analysis of moderately thick rectangular plates on pasternak foundation with point supports and elastically restrained edges by using the rayleigh-ritz method", *Journal of Failure Analysis and Prevention*, **16**(6), pp. 1006-1023 (2016).
26. Shi, D., Zhang, H., Wang, Q. and Zha, S. "Free and forced vibration of the moderately thick laminated composite rectangular plate on various elastic winkler and

- pasternak foundations”, *Journal of Shock and Vibration*, **2017**(2), pp. 1-23 (2017).
27. Park, M. and Choi, D-H. “A simplified first-order shear deformation theory for bending, buckling and free vibration analyses of isotropic plates on elastic foundations”, *KSCE Journal of Civil Engineering*, **22**(4), pp. 1235-1249 (2018).
28. Saidi, A.-R. and Atashipour, S.-R. “Analytical solution of free vibration of thick transversely isotropic rectangular plates, based on first order shear deformation theory”, *Aerospace Mechanics Journal*, **4**(3), pp. 9-21 (2008).
29. Hashemi, S.-H., Atashipour, S.-R. and Fadaee, M. “An exact analytical approach for in-plane and out-of-plane free vibration analysis of thick laminated transversely isotropic plates”, *Archive of Applied Mechanics*, **82**(5), pp. 677-698 (2012).
30. Fathi, M. and Rezayi, M. “Investigate vibration of orthotropic composite rectangular plates”, *6th National Conference and 2nd International Conference on Civil Engineering Materials and Structures 3rd International Congress on Civil of Yazd University* (2016) (in person).
31. Rahbar Ranji, A. and Shahbaztabar, A. “Free vibration analysis of non-homogeneous orthotropic plates resting on pasternak elastic foundation by rayleigh-ritz method”, *Journal of Central South University*, **23**(2), pp. 413-420 (2016).
32. Navayi Neya, B. “Exact solution for free vibration of simply supported isotropic thick rectangular plates”, *Journal of Sharif Civil Engineering*, **1**(2), pp.32-41 (2012) (in person).
33. Eskandari-Ghadi, M. “A complete solution of the wave equations for transversely isotropic media”, *Journal of Elasticity*, **81**, pp. 1-19 (2005).
34. Nematizadeh, M., Eskandari-Ghadi, M. and Navayi Neya, B. “An analytical solution for transversely isotropic simply supported thick rectangular plates using displacement potential functions”, *The Journal of Strain Analysis for Engineering Design*, **46**, pp. 121-142 (2011).
35. Yekkalam, F. and Navayi Neya, B. “An analytical solution for bending of transversely isotropic thick rectangular plates with variable thickness”, *Applied Mathematica Modelling* (2019).